

Résumé :

Le projet AdaMont « Impacts du changement climatique et adaptation en territoire de montagne » coordonné par Irstea, associant le CNRM (Météo-France – CNRS) et financé par le Ministère de la Transition Ecologique et Solidaire (programme GICC et ONERC) s'est intéressé à identifier les principaux impacts du changement climatique pour les territoires de moyenne montagne, ainsi que les stratégies d'adaptation qui y sont mises en place.

Concernant les impacts climatiques, le projet EUROCORDERX a permis de régionaliser les projections climatiques des modèles planétaires CMIP5 utilisés par le GIEC, jusqu'à une résolution de 12 km sur la France. Ces projections ont ensuite été corrigées de leur biais par la méthode ADAMONT à partir de la ré-analyse SAFRAN-Nivo (1980-2010), qui utilise un découpage spatial par massifs et tranches d'altitude de 300m. Les projections ajustées ont été utilisées pour alimenter le modèle Crocus et simuler le manteau neigeux correspondant à ces conditions climatiques futures. Ces données météorologiques et de neige naturelle sont disponibles au pas de temps quotidien, par massif et par tranche d'altitude et pour les périodes : 1950-2005 pour la partie historique et 2006-2100 pour les scénarios climatiques RCP8.5 et RCP4.5.

Information générale

Nom des fichiers :	*_FORCING_CLMcom-CCLM4-8-17_MPI-M-MPI-ESM-LR_*_alp_*
Projet-Expérience :	DRIAS – IMPACT - ADAMONT
Scénarios :	RCP 4.5 ; RCP 8.5
Périodes :	Historique : 1950/08-2005/07 ; Projection : 2005/08-2100/07
Fréquence des sorties de modèle :	Quotidienne
Domaine :	Alpes et Pyrénées

Configuration du modèle climatique global (GCM)

Modèle climatique global :	MPI-ESM-LR r1
Résolution de la grille horizontale :	1.88° (192 x 96 x L47 pts)
Producteur du GCM :	MPI : Max Planck Institute for Meteorology
Les composantes du modèle global :	ECHAM6 (atmosphère) couplé à MPIOM (océan, sea-ice) via le coupleur OASISv3 1.5°L40 qui inclut HAMOCC (biogéochimie marine) + JSBACH (végétation et surfaces continentales)
Date / version de la simulation :	2012-03-15

Configuration du modèle climatique régional (RCM)

Modèle climatique régional :	CCLM v4-8-17
Résolution de la grille horizontale :	0.11° ~ 12 km avec 450 x 438 pts
Projection de la grille horizontale :	Lon = 338W : 45E Lat = 27N : 72N
Nombre de niveaux verticaux :	40 niveaux verticaux
Conditions aux limites :	MPI-ESM
Fréquence du forçage :	6 heures
Producteur du RCM :	CLMcom : Climate Limited-area Modelling Community
Date / version de la simulation :	2014-05-15

Correction de biais – Descente d'échelle statistique (BCSD)

Méthode(s) de BCSD :	ADAMONT
Projection de la grille horizontale :	SAFRAN-Nivo par massif et par tranches de 300 m d'altitude
Producteur de la BCSD :	CNRM – CEN : Centre d'Études de la Neige
Date de la réalisation :	2018-03-07

Information sur le format du fichier NetCDF

Le format des noms de fichiers se décompose comme suit :

variable_FORCING_institut_modèles_scénario_massif_période_cell_méthodes.nc

Les variables utilisent la convention NetCDF et sont définies avec les attributs suivant (valeurs en exemple) :

```
double SNOW(TIME, NUMBER_OF_POINTS) ;
  SNOW:missing_value = -1.e+34 ;
  SNOW:_FillValue = -1.e+34 ;
  SNOW:long_name = "SNOW*3600" ;
  SNOW:history = "From FORCING_CLMcom-CCLM4-8-17_MOHC-HadGEM2-
    ES_RCP45_alp_2005080106_2099080106_daysum" ;
```

[Des informations pratiques sur les massifs et points de référence Adamont](#)

Variables disponibles pour cette simulation

Tmoy :	Température moyenne journalière [K]
Tmin :	Température minimale journalière près de la surface [K]
Tmax :	Température maximale journalière près de la surface [K]
Rain :	Pluie cumulée en 24h [kg/m²]
Snow :	Neige cumulée en 24h [kg/m²]
SNOWDEPTH :	Hauteur de neige à 6h [m]
SNOWSWE :	Équivalent en eau de la neige à 6h [kg/m²]

Autres simulations ADAMONT disponibles sur le portail DRIAS

Simulation name	Institution du RCM	GCM	RCM	Hist	RCP2.6	RCP4.5	RCP8.5	Variables	Vertical levels
CNRM_CNRM-CM5_CNRM-ALADIN53	CNRM	CNRM-CM5	ALADIN53	X		X	X	7	6 à 12
CLMcom_CNRM-CM5_CCLM4-8-17	CLMcom	CNRM-CM5	CCLM4-8-17	X		X	X	7	6 à 12
CLMcom_ICHEC-EC-EARTH_CCLM4-8-17	CLMcom	EC-EARTH	CCLM4-8-17	X		X	X	7	6 à 12
CLMcom_MOHC-HadGEM2-ES_CCLM4-8-17	CLMcom	HadGEM2	CCLM4-8-17	X		X	X	7	6 à 12
CLMcom_MPI-ESM-LR_CCLM4-8-17	CLMcom	MPI-ESM	CCLM4-8-17	X		X	X	7	6 à 12
DMI-NCC-NorESM1-M-HIRHAM5	DMI	NorESM1	HIRHAM5	X		X	X	7	6 à 12
KNMI_MOHC-HadGEM2-ES_RACMO22E	KNMI	HadGEM2	RACMO22E	X	X	X	X	7	6 à 12
SMHI_CNRM-CERFACS-CNRM-CM5_RCA4	SMHI	CNRM-CM5	RCA4	X		X	X	7	6 à 12
SMHI_ICHEC-EC-EARTH_RCA4	SMHI	EC-EARTH	RCA4	X	X	X	X	7	6 à 12
SMHI_MOHC-HadGEM2-ES_RCA4	SMHI	HadGEM2	RCA4	X		X	X	7	6 à 12
SMHI_IPSL-IPSL-CM5A-MR_RCA4	SMHI	IPSL-CM5A	RCA4	X		X	X	7	6 à 12
SMHI_MPI-M-MPI-ESM-LR_RCA4	SMHI	MPI-ESM	RCA4	X		X	X	7	6 à 12
CSC_MPI-ESM-LR_REMO019	CSC	MPI-ESM	REMO019	X	X	X	X	7	6 à 12
IPSL_IPSL-IPSL-CM5A-MR_WRF331F	IPSL	IPSL-CM5A	WRF331F	X		X	X	7	6 à 12

Les limitations

Références

GCM :

Stevens, B. et al., 2013. Atmospheric component of the MPI-M Earth System Model: ECHAM6, *J Adv Model Earth Sy*, 5, 146-172.

Giorgetta, M. A., et al., 2013. Climate and carbon cycle changes from 1850 to 2100 in MPI-ESM simulations for the Coupled Model Intercomparison Project phase 5, *J. Adv. Model. Earth Syst.*, 5, 572–597, doi: 10.1002/jame.20038.

Jungclauss, J. H. et al., 2013. Characteristics of the ocean simulations in the Max Planck Institute Ocean Model (MPIOM) the ocean component of 40 the MPI-Earth system model, *J Adv Model Earth Sy*, 5, 422-446.

[Fiche es-doc – CMIP5 Model : MPI-M - MPI-ESM-LR](#)

Projet :

Verfaillie, D., et al. 2018. Multi-component ensembles of future meteorological and natural snow conditions for 1500 m altitude in the Chartreuse mountain range, Northern French Alps, *The Cryosphere*, 12, 1249-1271.

[2017_ORECC_fiche_initiative_ADAMONT](#)

[lien vers la page ADAMONT sur le site IRSTEA](#)

RCM :

Keuler, K. et al., 2016. Regional climate change over Europe in COSMO-CLM: Influence of emission scenario and driving global mode

[lien vers la page COSMO-CLM](#)

BCSD :

Verfaillie, D., et al. 2017. The method ADAMONT v1.0 for statistical adjustment of climate projections applicable to energy balance land surface models, *Geosci. Model Dev.*, 10, 4257-4283.

Illustration(s)

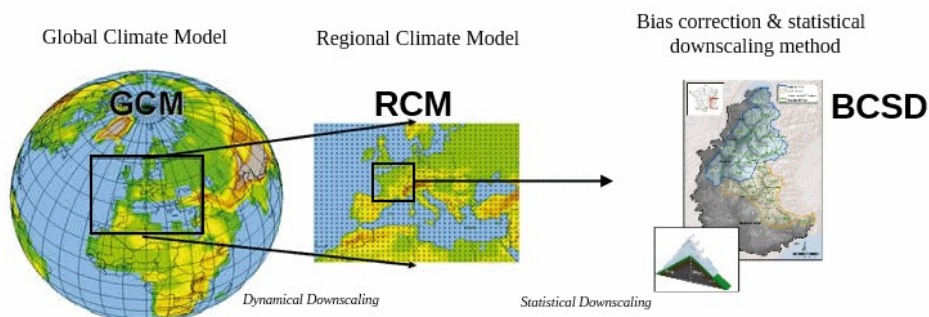


Illustration 1: Les étapes de descente d'échelle depuis la modélisation climatique globale à régionale jusqu'à la désagrégation aux petites échelles spatiales.

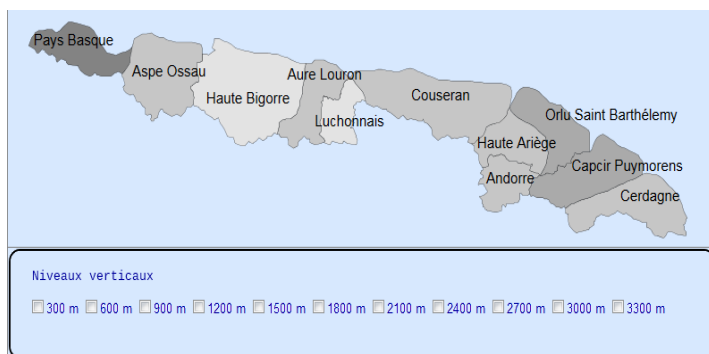


Illustration 2: Les découpages par massif selon SAFRAN-Nivo et les niveaux verticaux disponibles

